

ホイールトラッキング試験によるアスファルト混合物の流動性に関する研究

大阪市立大学工学部 正員 三瀬貞、正員 山田優
学生員○野口豊(近畿日本鉄道KK勤務)

1. まえがき

前回⁽¹⁾、各種の耐流動混合物について、ホイールトラッキング試験で求まる変形率(RD)と接地圧(P)との関係を比較検討した。今回は、試験条件や混合物の配合などの条件が変化するとき、このRD～P関係がどのように変化するか考察した。なお、これを通常の方法で行うと、非常に多くの供試体が必要となるので、一個の供試体で数段階の接地圧でのRDを求める方法を新たに考えて実施した。

2. 試験方法

所定の方法で作成、養生された供試体を接地圧0.54(MN/m²)で45分間トラッキングする。この時、試験条件により沈下量が大きくなる(沈下速度が速いものは、その後の実験結果に影響を及ぼすので、

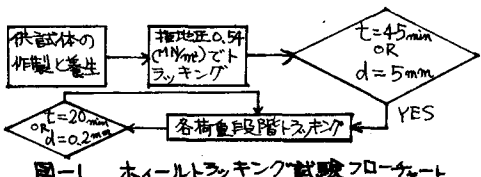


図-1 ホイールトラッキング試験フローチャート

時間が45分以前でも沈下量が5mmになればトラッキングを中止させる。そして時間で20分以内、沈下量で0.2mm以内のどちらかを満足したとき、その接地圧におけるトラッキングを停止させる。さらに次の荷重段階についても同様にトラッキングさせ一段階ずつ接地圧を増やしていく。各段階における沈下量と時間の関係からRDを計算する。以上の実験過程を図-1に示す。RDの計算は各試験条件により接地面積が異なるので、その影響を補正するため式-(1)により行う。またトラッキング速度を変えたものについては式-(2)でさらに検討する。

$$RD_{(mm/min)}^* = \frac{(d_2 - d_1) \times 1000}{(t_2 - t_1) \times \text{接地面積(cm)}} \quad \dots \dots (1) \quad \text{ここで } d_i: t_i \text{における変形量(mm)}$$

$$RD_{(mm/min)}^* = \frac{RD_{(mm/min)}^*}{\text{トラッキング速度(1/min)}} \quad \dots \dots (2) \quad d_i: t_i \text{における変形量(mm)}$$

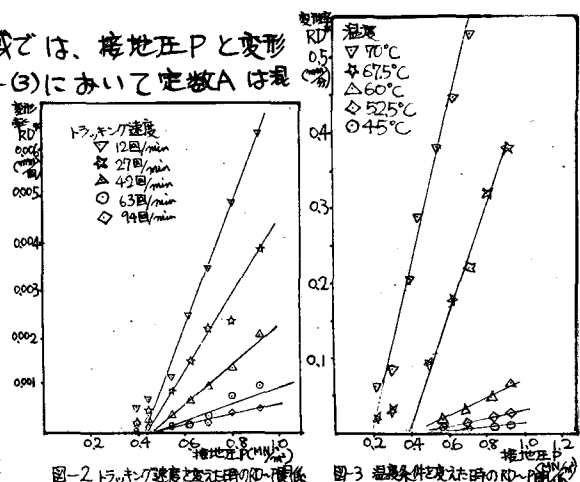
3. 実験結果と考察

わだち掘れに關係する大きい接地圧の領域では、接地圧Pと変形率RD^{*}との関係を式-(3)で近似できる。式-(3)において定数Aは混合物の粘度に支配され、定数Bは骨材間のかみ合せに支配される値と考えられる。

$$RD = A(P - B) \quad \dots \dots (3)$$

ここで RD: 変形率
P: 接地圧
A, B: 定数

まずトラッキング速度V(1/min)を変えると図-4のようになった。これより、Vが小さくなると単位走行あたりの載荷時間が大きくなるためRD^{*}が大きくなるのがわかる。VとAの関係は、 $A(\text{mm}/\text{min}) \cdot V(\text{min}) = 0.16$ である。なおBは



ほぼ0.450M²/m³となりトラッキング速度に左右されない。温度を変えると図-3のような結果になった。60°Cを超えるとBが小さくなり、60°C以下のRD-P関係とは異なったものになる。アスファルト量を変えると、図-4のようになった。これより、アスファルト量が増えるにつれ、RD²が大きくなるのがわかる。この場合も、温度が高くなつた時と同じように、アスファルト量が多くなるにつれ、Bは小さくなり。Aは6%を超えると急激に大きくなつていくのがわかる。フィラー量を変えると、図-5のようになった。これより、フィラー量が5%で、一番Aが小さくなり、それを超すと弱くなるが、さらに増加させると、A値は再び小さくなつた。混合物の種類を変えると図-6のようになつた。これより、粒径が大きい骨材がふえるにつれBが大きくなるのがわかる。密粒度および粗粒度アスコンは、Bは大きいがAも大きく高荷重圧域において弱いといえる。密粒度アスコンおよび密粒度ギャップアスコンは、5種類の混合物の中で一番安定しているといえる。ニーディング回数を変えると、図-7のようになつた。Bは、一万回をピークにして、その後で増加、並びに減少し、骨材のかみ合せが変化していくのがわかる。ニーディングをすると、骨材は図-8のように長軸方向が水平方向を向く傾向がみられた。また、粗骨材分は下方へ沈下し、アスファルトや細骨材分が上に移動しているようすが断面よりうかがえた。またニーディング後の供試体にホールドトラッキング試験を行なうと図-9のように載下直下の骨材が左右に逃げようとするのがわかつた。



図-8 ニーディングの影響



図-9 トラッキング力による影響

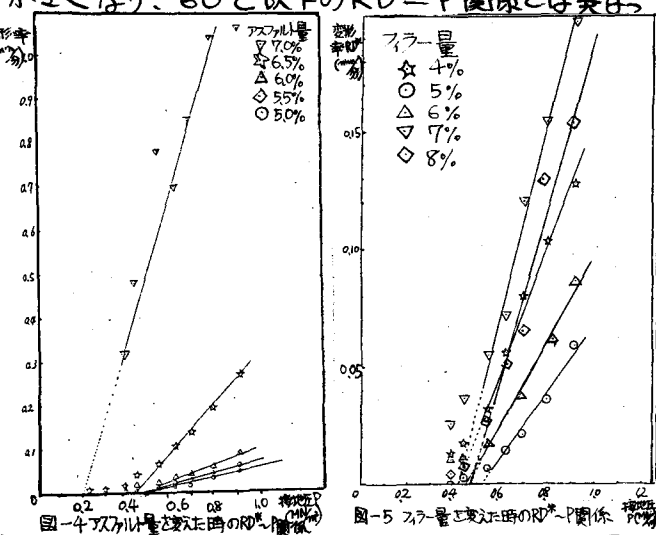


図-4 アスファルト量を変化した時のRD²-P関係

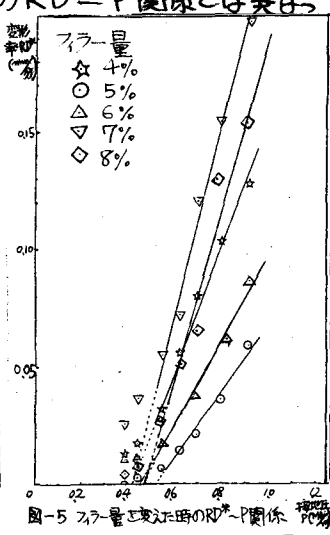


図-5 フィラー量を変化した時のRD²-P関係

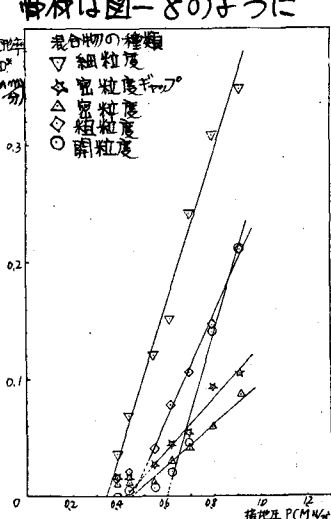


図-6 混合物の種類を変えた時のRD²-P関係

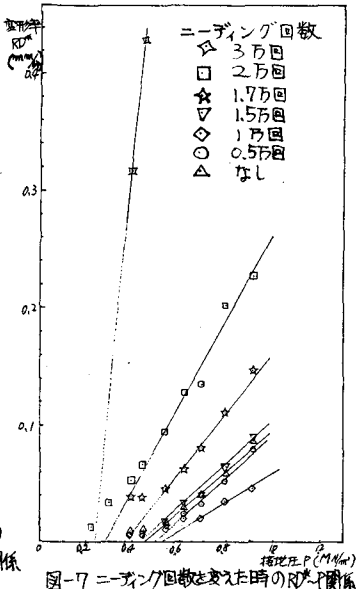


図-7 ニーディング回数を変えた時のRD²-P関係

参考文献 ①三瀬、山田、根来、加藤：土木学会関西支部年次講演、V-1, 1983

②山田、根来、三瀬：土木学会年次講演、V-232 P461, 1983